

การศึกษาหารามิเตอร์และการจำลองของระบบแปลงความร้อนแบบดูดกลืน

กรณีศึกษา : สารละลายน้ำ - ลิเทียมบอร์มายต์

(A Study of Parameters and Simulation of Absorption Heat Transformers)

A Case Study : Water - Lithium Bromide Mixture

ผศ. ดร. ธนาคม สุนทรชัยนาคแสง พันเอก ดร. ประสาท สุขเกษตร

และมณฑล ชูโภนาค

บทคัดย่อ

ระบบแปลงความร้อนแบบดูดกลืนที่ทำการวิจัยนี้ใช้สารละลายน้ำ - ลิเทียมบอร์มายต์ เป็นสารทำงาน โดยใช้น้ำเป็นของไหลทำงาน (Working fluid) หรือสารที่ถูกดูดกลืน (Absorbate) และลิเทียมบอร์มายต์เป็นสารดูดกลืน (Absorbent) ในงานวิจัยนี้ ได้ศึกษาหารามิเตอร์ที่สำคัญของระบบ อาทิเช่น สัมประสิทธิ์ของสมรรถนะเทอมเอนกประสงค์ สัมประสิทธิ์ของสมรรถนะความร้อน อัตราส่วนการไหล อัตราความร้อนถ่ายเทากับอุปกรณ์ต่างๆ เมื่อประสิทธิผลของอุปกรณ์แลกเปลี่ยนความร้อนและอุณหภูมิของอุปกรณ์หลักๆ เปลี่ยนแปลง

ผลจากการวิจัยพบว่า สัมประสิทธิ์ของสมรรถนะและอัตราความร้อนถ่ายเทอดลง อัตราส่วนการไหลเพิ่มขึ้นที่ระดับอุณหภูมิของคอนเดนเซอร์และตัวดูดกลืนสูงขึ้น สัมประสิทธิ์ของสมรรถนะและอัตราความร้อนถ่ายเทากเพิ่มขึ้น อัตราส่วนการไหลลดลงที่ระดับอุณหภูมิของเย็นเนอเรเตอร์และอิร่าไฟปอร์เตอร์สูงขึ้น และเมื่อประสิทธิผลของอุปกรณ์แลกเปลี่ยนความร้อนสูงขึ้นมีผลให้สัมประสิทธิ์ของสมรรถนะเทอมเอนกประสงค์และอัตราความร้อนถ่ายเทากับเย็นเนอเรเตอร์และตัวดูดกลืนเพิ่มขึ้น

1. บทนำ

ปัจจุบันปัญหาการขาดแคลนพลังงานเป็นปัญหาหนึ่ง . . . เนื่องจากแหล่งพลังงานที่มีอยู่ไม่เพียงพอต่อความต้องการ ผู้คนจึงได้มีการพิจารณาการนำพลังงานความร้อนที่ใช้งานแล้วกลับมาใช้ใหม่ ซึ่งนอกจากจะเป็นการประหยัดพลังงานแล้ว ยังช่วยลดผลกระทบทางสิ่งแวดล้อมด้วย ดังนั้นระบบแปลงความร้อนแบบดูดกลืน จึงเป็นอีกระบบหนึ่งที่นำมาใช้ในการอนุรักษ์พลังงาน โดยการนำพลังงานความร้อนที่ใช้ประโยชน์ไม่ได้แล้ว ซึ่งมีคุณภาพมีป่ากกลาง (สูงกว่าอุณหภูมิแรกล้อม) นำมาเพิ่มคุณภาพหรือแปลงให้มีอุณหภูมิสูงขึ้นเพื่อนำกลับไปใช้ประโยชน์ได้อีก ‘เก็บครั้งหนึ่งของพลังงานความร้อนที่ใช้ประโยชน์ไม่ได้ในกระบวนการทางความร้อนที่สามารถเพิ่มคุณภาพเพื่อนำกลับไปใช้ประโยชน์ได้อีก’ [2]

ระบบแปลงความร้อนแบบดูดกลืน มีอุปกรณ์หลักๆ ประกอบด้วย เย็นเนอเรเตอร์ (Generator) คอนเดนเซอร์ (Condenser) อีเวปปอเรเตอร์ (Evaporator) ตัวดูดกลืน (Absorber) และอุปกรณ์แลกเปลี่ยนความร้อน (Heat exchanger) คอนเดนเซอร์และเย็นเนอเรเตอร์จะติดตั้งอยู่ด้านที่มีความดันต่ำ (Low pressure : P_L) อีเวปปอเรเตอร์และตัวดูดกลืนจะติดตั้งอยู่ทางด้านความดันสูง (High pressure : P_H) ความดันต่ำและความดันสูงในระบบทราบได้จากคุณภาพของคอนเดนเซอร์และอีเวปปอเรเตอร์ตามลำดับ โดยการนำอุณหภูมิของอุปกรณ์ตั้งกล่าวไปเป็นตารางคุณสมบัติของไหลทำงาน(น้ำ) ข้อดีของระบบคือ มีอุปกรณ์ที่เคลื่อนที่น้อยเป็นผลให้การสักหรือหดหู่น้ำดี และการบำรุงรักษาง่าย

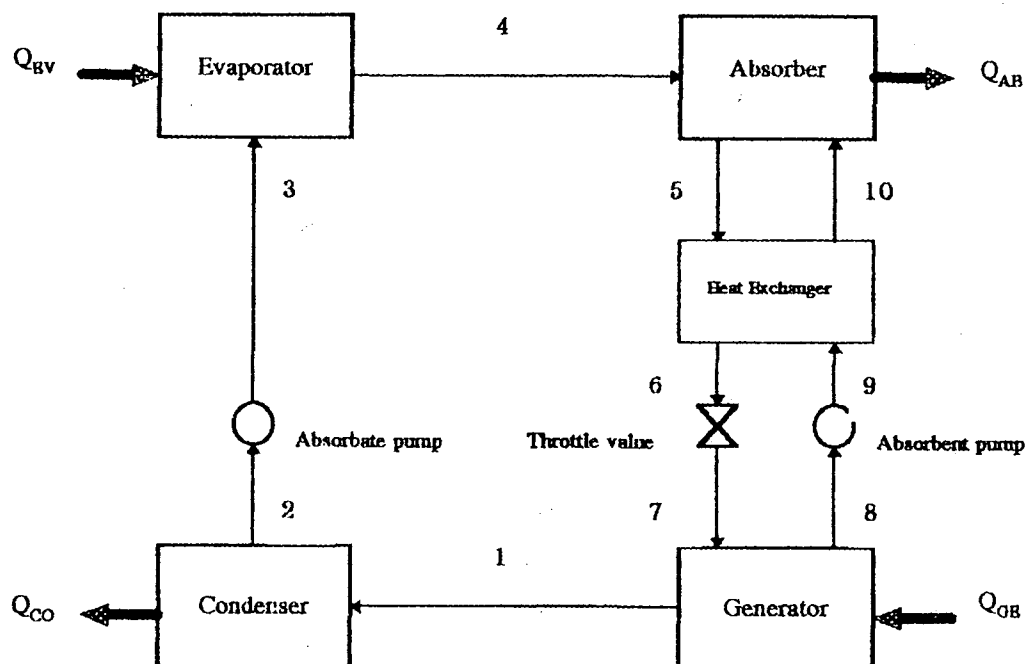
ระบบแปลงความร้อนแบบดูดกลืนที่จะทำการวิจัยนี้ จะใช้สารละลาย น้ำ - ลิเทียมบอร์มายด์ (Water-Lithium bromide) เป็นสารทำงาน โดยใช้สารลิเทียมบอร์มายด์เป็นสารดูดกลืน (Absorbent) และน้ำ เป็นของไหลทำงาน (Working fluid) หรือสารที่ถูกดูดกลืน (Absorbate) ใน การศึกษาจะสร้างแบบจำลองทางคณิตศาสตร์ของอุปกรณ์ต่างๆ เพื่อศึกษาพารามิเตอร์ต่างๆ และเขียนโปรแกรมคอมพิวเตอร์เพื่อช่วยในการศึกษา ซึ่งจะทำการศึกษาพารามิเตอร์หลักๆ ของระบบ อาทิ เช่น สัมประสิทธิ์ของสมรรถนะเทอมเอนกประสงค์ (COP_B) สัมประสิทธิ์ของสมรรถนะการโน (COP_C) อัตราส่วนการไหล (FR) ตลอดจนอัตราความร้อนถ่ายเทในอุปกรณ์หลักๆ ของระบบ เมื่ออุณหภูมิของอุปกรณ์หลักๆ และประสิทธิผลของอุปกรณ์แลกเปลี่ยนความร้อนเปลี่ยนแปลง

2. ลักษณะและหลักการทำงานของระบบแปลงความร้อนแบบดูดกลืน

ลักษณะของระบบแปลงความร้อนแบบดูดกลืน ดังแสดงในรูปที่ 1 อุปกรณ์หลักๆ ประกอบไปด้วย เย็นเนอเรเตอร์ คอนเดนเซอร์ อีเวปปอเรเตอร์ ตัวดูดกลืน และอุปกรณ์แลกเปลี่ยนความร้อน จากรูปที่ 1 และ 2 จะเห็นว่าเย็นเนอเรเตอร์และคอนเดนเซอร์จะติดตั้งอยู่ทางด้านความดันต่ำ (Low pressure : P_L) ส่วนอีเวปปอเรเตอร์และตัวดูดกลืนติดตั้งอยู่ด้านความดันสูง (High pressure : P_H) พลังงานความร้อนที่ใช้ประโยชน์ไม่ได้แล้วซึ่งมีอุณหภูมิป่ากกลาง (สูงกว่าอุณหภูมิแรกล้อม) จะจ่ายให้กับเย็นเนอเรเตอร์ที่อุณหภูมิ T_{AB} เพื่อแยกของไหลทำงาน(น้ำ)ออกจากสารละลายเจือจาง (สารละลายที่มีส่วนผสมของลิเทียมบอร์มายด์ตัว) ของไหลทำงานที่แยกออกมานี้สภาวะเงินในกึ่มตัวและจะถูกความแน่นเป็นของเหลวคึมตัวในคอนเดนเซอร์ที่อุณหภูมิ T_{CO} จากนั้นจะถูกส่งไปยังอีเวปปอเรเตอร์โดยทิ้ง ได้รับความร้อนที่อุณหภูมิป่ากกลาง T_{BV} กล้ายเป็นไอคัมตัวแล้วส่งผ่านไปยังตัวดูดกลืนและจะถูกดูดกลืนโดยสารละลายเข้มข้น (สารละลายที่มีส่วนผสมของลิเทียมบอร์มายด์สูง) ที่ส่งมาจากเย็นเนอเรเตอร์ เมื่อมีการรวมตัวกันในตัวดูดกลืน ไอของของไหลทำงาน(น้ำ)จะกล้ายเป็นของเหลวและระบบด้วยความร้อนออกมาก ทำให้อุณหภูมิที่ได้จากตัวดูดกลืน (T_{AB}) มีค่าสูงสามารถนำไปใช้ประโยชน์ได้ ในการนำความร้อนส่วนนี้ไปใช้ประโยชน์สามารถกระทำได้โดยการนำกระแสของไหลภายนอก

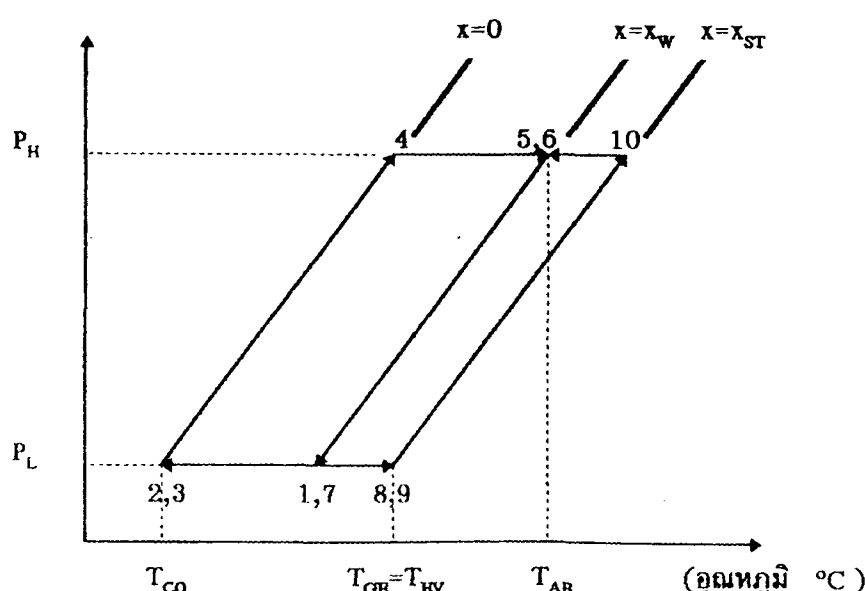
มารับความร้อนจากตัวดูดกลืน หรือ น้ำกระแสงของไอลที่จ่ายให้กับเย็นเนอเรเตอร์และอิباءปอร์เตอร์มารับความร้อนเพื่อเพิ่มคุณภาพให้สูงขึ้นก่อนนำไปใช้ประโยชน์ตามต้องการ

สุดท้ายสารละลายนี้จะถูกส่งไปยังเย็นเนอเรเตอร์ผ่านอุปกรณ์แลกเปลี่ยนความร้อน และกรองเดลวาร์ ขณะที่ผ่านอุปกรณ์แลกเปลี่ยนความร้อนเกิดการแลกเปลี่ยนความร้อนกันขึ้นระหว่างกระแสงของสารละลายนี้และสารละลายน้ำมัน เป็นผลให้กระแสงของสารละลายน้ำมันสูงขึ้นก่อนเข้าตัวดูดกลืน จากนั้นก็จะเริ่มวิวัจกรรมใหม่



รูปที่ 1. แสดงรายละเอียดของระบบแปลงความร้อนแบบดูดกลืน

ความดัน(kPa)



รูปที่ 2. แสดงวิวัจกรรมของระบบแบบแผนภูมิความดัน อุณหภูมิ และความเข้มข้นของสารละลายน้ำ

3. แบบจำลองทางคณิตศาสตร์

ในการสร้างแบบจำลองทางคณิตศาสตร์ของอุปกรณ์ต่างๆ ของระบบแปลงความร้อนแบบดูดกลืนนี้ สมมุติฐานดังนี้

1. การทำงานของระบบ ต้องอยู่ในสภาวะสมดุลทางเทอร์โมไดนามิกส์
2. การวิเคราะห์ จะต้องวิเคราะห์ภายใต้สภาวะคงที่ (Steady state)
3. สําหรับเครื่องแยกไอ (Rectifier) ไม่มีความซําเป็นต้องใช้ เนื่องจากสารดูดกลืน (Absorbent) จะไม่ถูกแยกออกจากอุณหภูมิที่พิจารณา
4. สารละลายที่ออกจากเย็นเนอเรเตอร์และตัวดูดกลืนอยู่ในสภาวะอืดมือ และ ของไนโตรเจนที่ออกจาก คอนเดนเซอร์และอีแอลป์ปอร์เรเตอร์อยู่ในสภาวะอืดมือตัวเช่นกัน
5. ความตันในอีแอลป์ปอร์เรเตอร์ เท่ากับ ความตันในตัวดูดกลืน (ความตันสูง) ความตันใน คอนเดนเซอร์ เท่ากับ ความตันในเย็นเนอเรเตอร์ (ความตันต่ำ)
6. ค่าที่กำหนดคือ อุณหภูมิที่ทางออกของอุปกรณ์หลักๆ อัตราการให้เหล่าน้ำสละของสารละลาย เจือจากตัวดูดกลืนไปสังยานเนอเรเตอร์ และประสิทธิภาพของอุปกรณ์แยกเปลี่ยนความร้อน
7. ไม่คิดความร้อนสูญเสีย (Heat loss) และความตันลด (Pressure drop) ภายในท่อ และอุปกรณ์ต่างๆ ของระบบ
8. ไม่คิดการเปลี่ยนแปลงของพลังงานศักย์ และพลังงานจลน์
9. พลังงานที่ใช้ขับปั้มนี้ถือว่ามีค่าน้อยมาก

จากสมมุติฐานดังกล่าว นำมาใช้ในการวิเคราะห์ทางเทอร์โมไดนามิกส์ โดยใช้หลักการสมดุลมวล (Mass balance) สมดุลสารดูดกลืน (Absorbent balance) และสมดุลพลังงาน (Energy balance) กับอุปกรณ์หลักๆ ของระบบ

หลักการสมดุลมวล(Mass Balance)

$$\sum M_i - \sum M_e = 0 \quad (1)$$

หลักการสมดุลสารดูดกลืน (Lithium Bromide Balance)

$$\sum x_i M_i - \sum x_e M_e = 0 \quad (2)$$

หลักการสมดุลพลังงาน(Energy Balance)

$$\sum Q_i + \sum M_i(h_i) = \sum Q_e + \sum M_e(h_e) \quad (3)$$

ผลจากการวิเคราะห์ จะได้

- เย็นเนอเรเตอร์

$$\text{สมดุลมวล} : M_{AB} = M_{GB} + M_{WF} \quad (4)$$

$$\text{สมดุลสารดูดกลืน} : x_w M_{AB} = x_{ST} M_{GB} \quad (5)$$

$$\text{สมดุลพลังงาน} : Q_{GB} = M_{GB}h_8 + M_{WF}h_1 - M_{AB}h_7 \quad (6)$$

- คอนเดนเซอร์

$$\text{สมดุลมวล} : M_{WF} = M_{WF} \quad (7)$$

$$\text{สมดุลพลังงาน} : Q_{CO} = M_{WF}(h_1 - h_2) \quad (8)$$

- อัตราป้อนเรตอร์

$$\text{สมดุลมวล} : M_{WF} = M_{WF} \quad (9)$$

$$\text{สมดุลพลังงาน} : Q_{BV} = M_{WF}(h_4 - h_3) \quad (10)$$

- ตัวคูณกือน

$$\text{สมดุลมวล} : M_{WF} + M_{GB} = M_{AB} \quad (11)$$

$$\text{สมดุลสารตุ้กถิน} : x_{ST}M_{GB} = x_w M_{AB} \quad (12)$$

$$\text{สมดุลพลังงาน} : Q_{AB} = M_{WF}h_4 + M_{GB}h_{10} - M_{AB}h_5 \quad (13)$$

- อุปกรณ์แลกเปลี่ยนความร้อน

$$\text{สมดุลมวล} : M_{AB} + M_{GB} = M_{AB} + M_{GB} \quad (14)$$

$$\text{สมดุลสารตุ้กถิน} : x_w M_{AB} + x_{ST} M_{GB} = x_w M_{AB} + x_{ST} M_{GB} \quad (15)$$

$$\text{สมดุลพลังงาน} : Q_{BR} = M_{AB}(h_5 - h_6) = M_{GB}(h_{10} - h_9) \quad (16)$$

โดยที่

$$M_1 = M_2 = M_3 = M_4 = M_{WF} \quad x_1 = x_2 = x_3 = x_4 = x = 0$$

$$M_5 = M_6 = M_7 = M_{AB} \quad x_5 = x_6 = x_7 = x_w$$

$$M_8 = M_9 = M_{10} = M_{GB} = M_{AB} - M_{WF} \quad x_8 = x_9 = x_{10} = x_{ST}$$

4. พารามิเตอร์ที่สำคัญ

4.1 อัตราส่วนการไหล (Flow ratio) : FR [1]

อัตราส่วนการไหลเป็นพารามิเตอร์ที่สำคัญและมีผลโดยตรงต่อขนาดและค่าใช้จ่ายของเยนเนอเรเตอร์ ตัวคูณกือน อุปกรณ์แลกเปลี่ยนความร้อนและเป็น อัตราส่วนการไหลสามารถหาได้จาก อัตราการไหลของมวลของสารละลายน้ำจากตัวคูณกือนไปยังเยนเนอเรเตอร์ (M_{AB}) ต่ออัตราการไหลของมวลของของไหลทำงาน (M_{WF}) [1]

$$FR = \frac{M_{AB}}{M_{WF}} \quad (17)$$

เมื่อ M_{AB} เป็นอัตราการไหลของมวลของสารละลายน้ำเจือจากตัวคูณกือนไปยังเยนเนอเรเตอร์

M_{WF} เป็นอัตราการไหลของมวลของของไหลทำงาน

นำมาเขียนอยู่ในเทอมที่เป็นส่วนประกอบของสารละลายน้ำ จะได้

$$FR = \frac{x_{ST}}{x_{ST} - x_w} \quad (18)$$

4.2 ประสิทธิภาพของอุปกรณ์แลกเปลี่ยนความร้อน (Effectiveness of the heat exchanger) : EF [1]

จุดประสงค์หลักของการมีอุปกรณ์แลกเปลี่ยนความร้อนในระบบแปลงความร้อนแบบตุ้กถินคือ การนำความร้อนจากกระแสของไหลกลับมาใช้ให้เป็นประโยชน์ และประสิทธิภาพการทำงานของอุปกรณ์ดังกล่าว สามารถทราบได้จากค่าประสิทธิผล (Effectiveness) ของตัวอุปกรณ์เอง อุปกรณ์แลกเปลี่ยนความร้อนในระบบแปลงความร้อนแบบตุ้กถิน จะทำหน้าที่เป็นตัวเพิ่มความร้อนให้กับสารละลายน้ำที่ออกจาก

เย็นเนอเรเตอร์ไปยังตัวดูดกลืน โดยทั่วไปค่าประสิทธิผลของอุปกรณ์แลกเปลี่ยนความร้อนคำนวณได้จาก อัตราส่วนของความร้อนที่นำกลับมาใช้ได้จริง(Actual heat : Q_A) ต่อความร้อนสูงสุดที่สามารถนำกลับมาใช้ได้ (Maximum heat : Q_{MAX}) [1]

$$EF = \frac{Q_A}{Q_{MAX}} \quad (19)$$

หรือ

$$EF = \frac{M_{GE}(h_{10} - h_9)}{M_{AB}(h_{9,5} - h_9)} \quad (20)$$

เมื่อ $h_{9,5}$ เป็นเอนталปีของสารละลายน้ำที่(x_9, T_5)

4.3 สัมประสิทธิ์ของสมรรถนะ (Coefficient of Performance) : COP

สัมประสิทธิ์ของสมรรถนะ (COP) เป็นพารามิเตอร์ที่สำคัญอีกด้วยหนึ่งที่ใช้แทนประสิทธิภาพของระบบแปลงความร้อนแบบดูดกลืน โดยทั่วไปคำนวณได้จาก อัตราส่วนระหว่างความร้อนที่ได้จากการดูดกลืนต่อ ภาระความร้อนที่จ่ายให้กับเย็นเนอเรเตอร์และอีแอลป์บอร์เดอร์ [1]

$$COP = \frac{Q_{AB}}{Q_{GE} + Q_{EV}} \quad (21)$$

- สัมประสิทธิ์ของสมรรถนะเทอมเอนталปี(Enthalpy-Based Coefficient of Performance) : COP_E

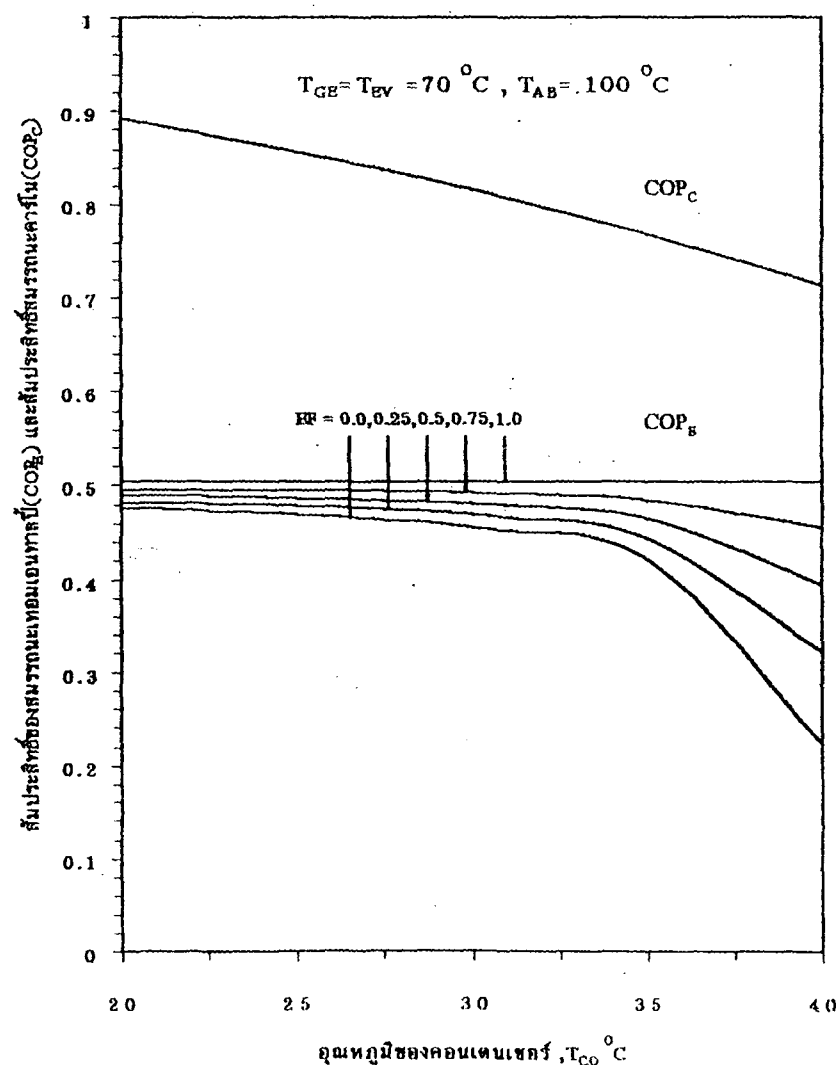
$$COP_E = \frac{h_4 + (FR - 1)h_{10} - FR.h_5}{(FR - 1).h_8 - FR.h_7 + h_1 + h_4 - h_3} \quad (22)$$

- สัมประสิทธิ์ของสมรรถนะการโน (Carnot Coefficient of Performance) : COP_C
จากการวิเคราะห์โดยใช้กฎข้อที่ 2 ของเทอร์โนไดนามิกส์ จะได้

$$COP_C = \frac{T_{AB}(T_{EV} - T_{CO})}{T_{EV}(T_{AB} - T_{GE}) + T_{GE}(T_{EV} - T_{CO})} \quad (23)$$

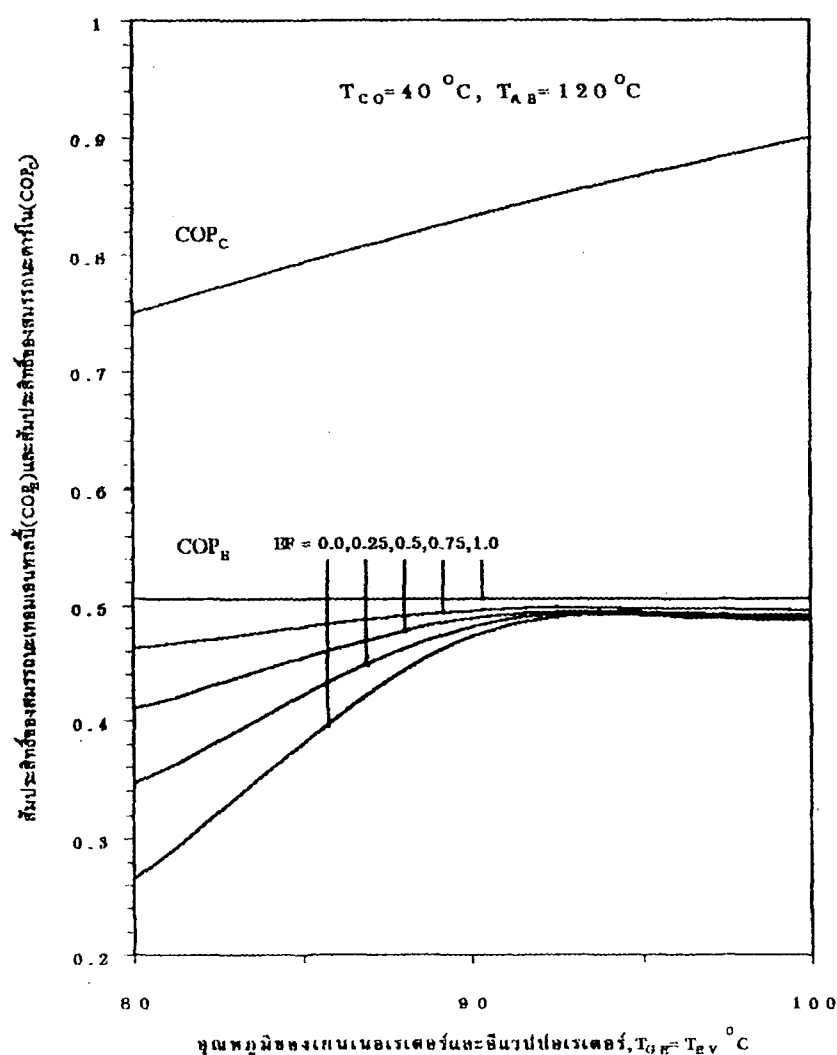
5. ผลวิจัย

รูปที่ 3 แสดงการเปลี่ยนแปลงค่าสัมประสิทธิ์ของสมรรถนะ (COP) เทียบกับ อุณหภูมิของ คอนเดนเซอร์ (T_{Co}) ที่ค่าประสิทธิ์ผลของอุปกรณ์แลกเปลี่ยนความร้อนต่างๆ จากรูปจะเห็นว่าที่อุณหภูมิของ คอนเดนเซอร์ต่ำๆ สัมประสิทธิ์ของสมรรถนะเทอมเย็นทำล้ำ (COP_E) จะมีค่าสูง และประสิทธิ์ผลของอุปกรณ์ แลกเปลี่ยนความร้อนเกือบจะไม่มีผลต่อสัมประสิทธิ์ของสมรรถนะเทอมเย็นทำล้ำ (COP_B) แต่ที่อุณหภูมิของ คอนเดนเซอร์สูงๆ สัมประสิทธิ์ของสมรรถนะเทอมเย็นทำล้ำ (COP_E) จะลดลง และประสิทธิ์ผลของอุปกรณ์ แลกเปลี่ยนความร้อนจะมีผลต่อสัมประสิทธิ์ของสมรรถนะเทอมเย็นทำล้ำ (COP_B) มาก จะเห็นว่าสัมประสิทธิ์ ของสมรรถนะเทอมเย็นทำล้ำ (COP_B) จะเพิ่มขึ้นอย่างรวดเร็วเมื่อประสิทธิ์ผลของอุปกรณ์แลกเปลี่ยนความ ร้อนเพิ่มขึ้น ส่วนสัมประสิทธิ์ของสมรรถนะคาร์บอน(COP_C)จะมีค่าลดลงเมื่ออุณหภูมิของคอนเดนเซอร์เพิ่มขึ้น และประสิทธิ์ผลของอุปกรณ์แลกเปลี่ยนความร้อนจะไม่มีผลต่อสัมประสิทธิ์ของสมรรถนะคาร์บอน



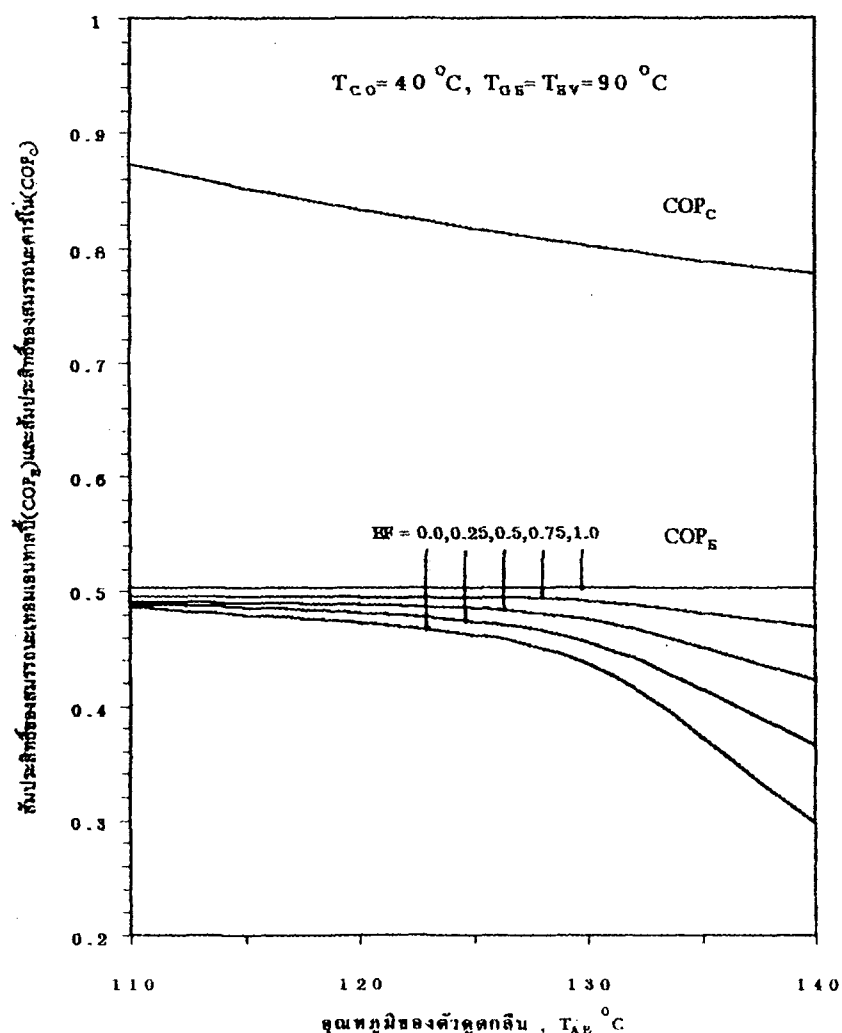
รูปที่ 3. แสดงการเปลี่ยนแปลงค่าสัมประสิทธิ์ของสมรรถนะ เทียบกับ อุณหภูมิของ คอนเดนเซอร์ ที่ค่าประสิทธิ์ผลของอุปกรณ์แลกเปลี่ยนความร้อนต่างๆ

รูปที่ 4 แสดงการเปลี่ยนแปลงค่าสัมประสิทธิ์ของสมรรถนะ(COP) เทียบกับ อุณหภูมิของเย็นเนอเรเตอร์และอีว่าป่าเบรเดอร์ ($T_{CB}=T_{EV}$) ที่ค่าประสิทธิผลของอุปกรณ์แลกเปลี่ยนความร้อนต่างๆ จากรูปจะเห็นว่า ที่อุณหภูมิของเย็นเนอเรเตอร์และอีว่าป่าเบรเดอร์ต่างๆ สัมประสิทธิ์ของสมรรถนะเทอมเย็นกากลปัจจุบันค่าต่ำ และประสิทธิผลของอุปกรณ์แลกเปลี่ยนความร้อนจะมีผลต่อสัมประสิทธิ์ของสมรรถนะเทอมเย็นกากลปัจจุบัน จะเห็นว่าเมื่อประสิทธิผลของอุปกรณ์แลกเปลี่ยนความร้อนเพิ่มขึ้นจะเป็นผลให้สัมประสิทธิ์ของสมรรถนะเทอมเย็นกากลปัจจุบันเพิ่มขึ้นตัวอย่าง เมื่ออุณหภูมิของเย็นเนอเรเตอร์และอีว่าป่าเบรเดอร์สูงๆ สัมประสิทธิ์ของสมรรถนะเทอมเย็นกากลปัจจุบันเพิ่มขึ้นและประสิทธิผลของอุปกรณ์แลกเปลี่ยนความร้อนจะมีผลต่อสัมประสิทธิ์ของสมรรถนะเทอมเย็นกากลปัจจุบันน้อยมาก ส่วนสัมประสิทธิ์ของสมรรถนะการในจะไม่มีผลยังไงที่ประสิทธิผลของอุปกรณ์แลกเปลี่ยนความร้อนเปลี่ยนแปลงแต่จะมีผลเมื่ออุณหภูมิของเย็นเนอเรเตอร์และอีว่าป่าเบรเดอร์เปลี่ยนแปลง จะเห็นว่า สัมประสิทธิ์ของสมรรถนะการในเพิ่มขึ้นเมื่ออุณหภูมิของเย็นเนอเรเตอร์และอีว่าป่าเบรเดอร์เพิ่มขึ้น



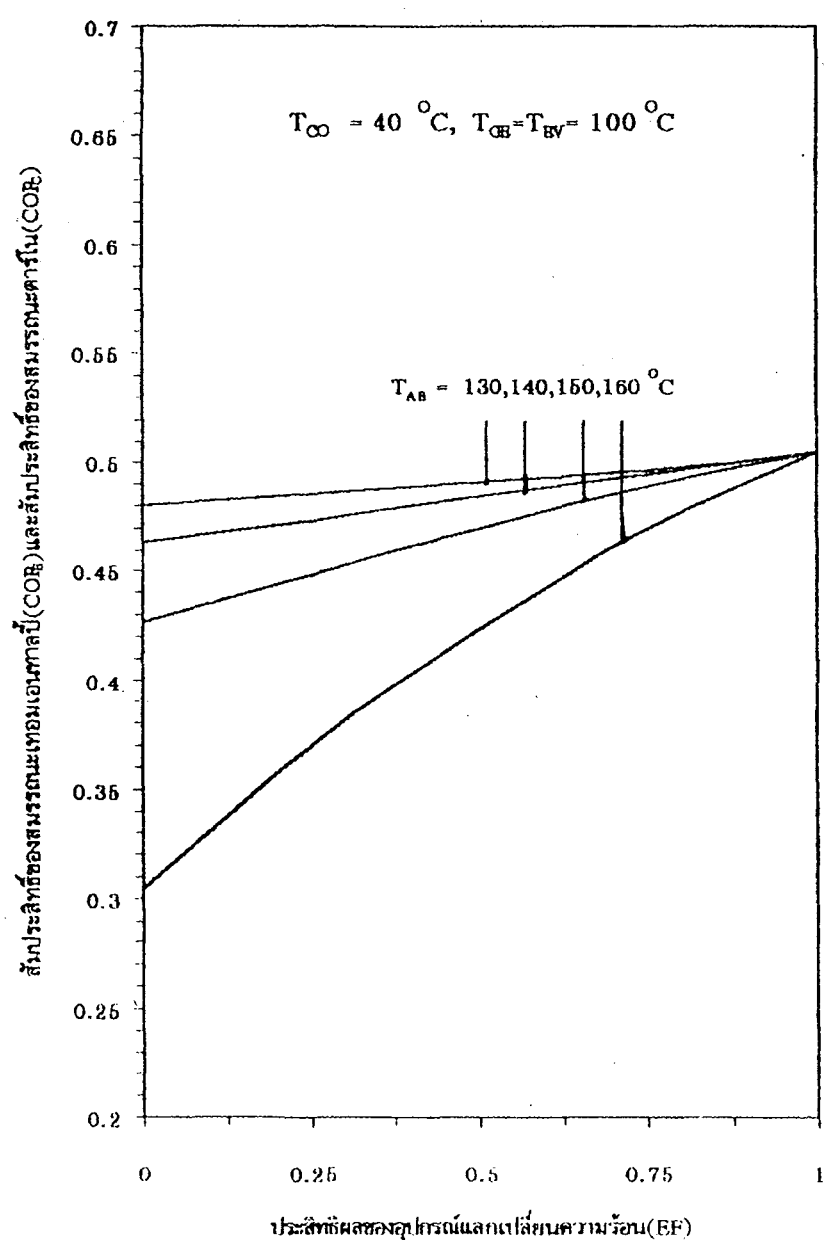
รูปที่ 4. แสดงการเปลี่ยนแปลงค่าสัมประสิทธิ์ของสมรรถนะ เทียบกับ อุณหภูมิของเย็นเนอเรเตอร์และอีว่าป่าเบรเดอร์ ที่ค่าประสิทธิผลของอุปกรณ์แลกเปลี่ยนความร้อนต่างๆ

รูปที่ 5 แสดงการเปลี่ยนแปลงค่าสัมประสิทธิ์ของสมรรถนะ (COP) เทียบกับ อุณหภูมิของตัวดูดกลืน (T_{AB}) ที่ค่าประสิทธิผลของอุปกรณ์แลกเปลี่ยนความร้อนต่างๆ จากรูปจะเห็นว่า ที่อุณหภูมิตัวดูดกลินค่าๆ สัมประสิทธิ์ของสมรรถนะเทอมเย็นทางปีนี้ค่าสูงและประสิทธิผลของอุปกรณ์แลกเปลี่ยนความร้อนจะมีผลต่อ สัมประสิทธิ์ของสมรรถนะเทอมเย็นทางปีนี้อยมาก และที่อุณหภูมิตัวดูดกลินสูงๆ สัมประสิทธิ์ของสมรรถนะ เทอมเย็นทางปี จะลดลงและ การเปลี่ยนแปลงประสิทธิผลของอุปกรณ์แลกเปลี่ยนความร้อนจะมีผลให้ สัมประสิทธิ์ของสมรรถนะเทอมเย็นทางปีมีการเปลี่ยนแปลงตัวๆ จะเห็นว่าเมื่อประสิทธิผลของอุปกรณ์แลกเปลี่ยนความร้อนมีค่าต่ำจะมีผลให้สัมประสิทธิ์ของสมรรถนะเทอมเย็นทางปีมีค่าต่ำไปด้วย และเมื่อประสิทธิผล ของอุปกรณ์แลกเปลี่ยนความร้อนมีค่าสูงขึ้นสัมประสิทธิ์ของสมรรถนะเทอมเย็นทางปีก็จะเพิ่มสูงขึ้นด้วย ส่วน สัมประสิทธิ์ของสมรรถนะการในจะลดลงเมื่ออุณหภูมิของตัวดูดกลินเพิ่มขึ้น



รูปที่ 5. แสดงการเปลี่ยนแปลงค่าสัมประสิทธิ์ของสมรรถนะ เทียบกับ อุณหภูมิของ ตัวดูดกลิน ที่ค่าประสิทธิผลของอุปกรณ์แลกเปลี่ยนความร้อนต่างๆ

รูปที่ 6 แสดงการเปลี่ยนแปลงค่าสัมประสิทธิ์ของสมรรถนะ (COP) เทียบกับ ประสิทธิผลของอุปกรณ์แลกเปลี่ยนความร้อน ที่อุณหภูมิของตัวถุงกลืน (T_{AB}) ต่างๆ จากรูปจะเห็นว่า ที่ความแตกต่างระหว่างอุณหภูมิของแหล่งที่ให้ความร้อน ($T_{AB} = T_{EV}$) และอุณหภูมิของตัวถุงกลืนต่ำกว่า 40 องศาเซลเซียส ค่าสัมประสิทธิ์ของสมรรถนะเทอมเย็นทางปีจะมีการเปลี่ยนแปลงน้อยแม้ว่าประสิทธิผลของอุปกรณ์แลกเปลี่ยนความร้อนจะเปลี่ยนไป และที่ความแตกต่างระหว่างอุณหภูมิของแหล่งที่ให้ความร้อน ($T_{AB} = T_{EV}$) และอุณหภูมิของตัวถุงกลืนสูงกว่า 40 องศาเซลเซียส ค่าสัมประสิทธิ์ของสมรรถนะเทอมเย็นทางปีจะเพิ่มขึ้นอย่างรวดเร็วกับการเพิ่มขึ้นของประสิทธิผลของอุปกรณ์แลกเปลี่ยนความร้อน

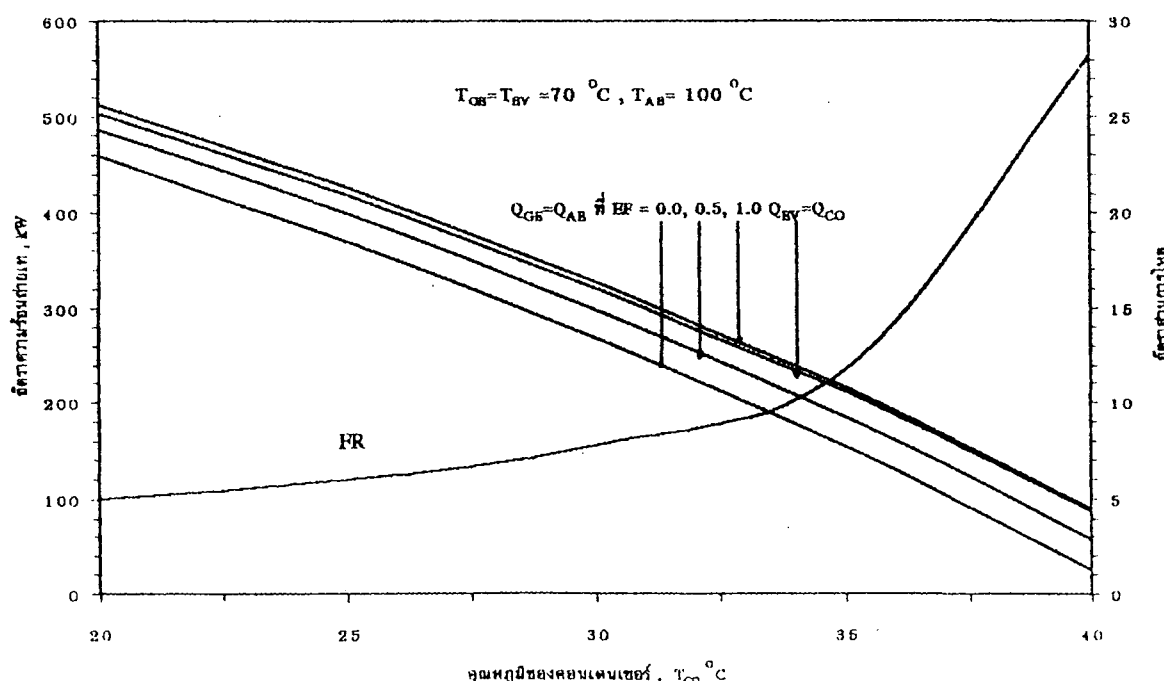


รูปที่ 6. แสดงการเปลี่ยนแปลงค่าสัมประสิทธิ์ของสมรรถนะ (COP) เทียบกับ ประสิทธิผลของอุปกรณ์แลกเปลี่ยนความร้อน ที่อุณหภูมิของตัวถุงกลืน (T_{AB}) ต่างๆ

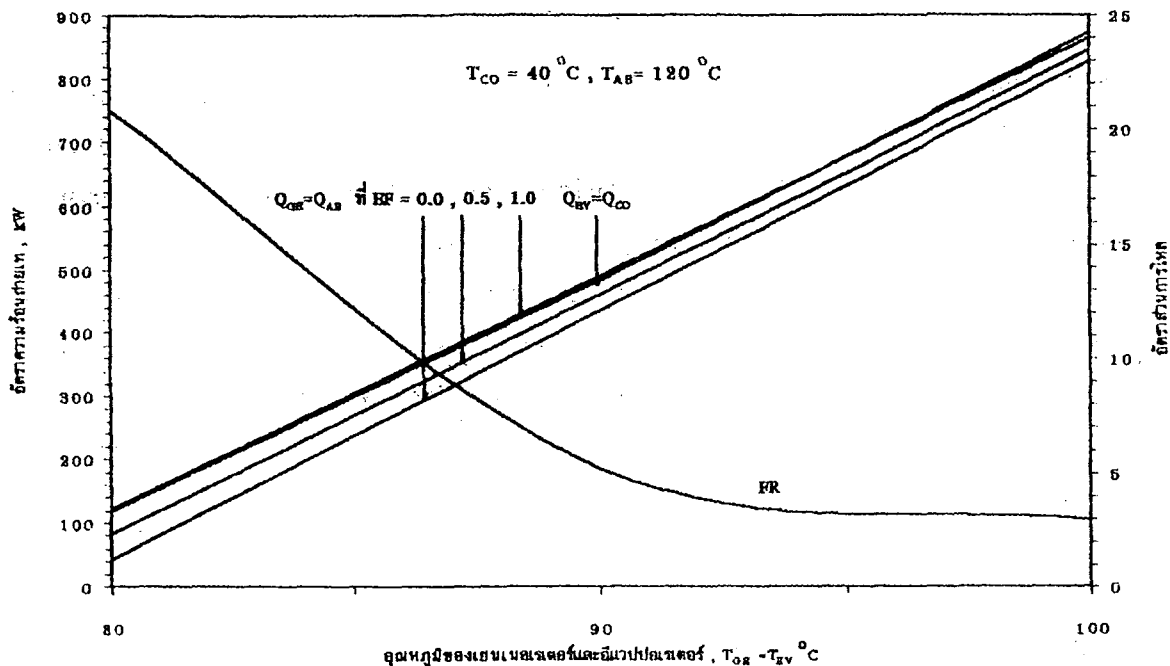
รูปที่ 7 แสดงอัตราความร้อนถ่ายเทและอัตราส่วนการไหล เทียบกับ อุณหภูมิของคอนเดนเซอร์ ที่ประสิทธิผลของอุปกรณ์แลกเปลี่ยนความร้อนต่างๆ จากรูปจะเห็นว่า ที่อุณหภูมิของคอนเดนเซอร์ค่าๆ 0°C อัตราความร้อนถ่ายเทที่อุปกรณ์ต่างๆ จะมีค่าสูงและอัตราส่วนการไหลจะต่ำ เมื่ออุณหภูมิคอนเดนเซอร์เพิ่มสูงขึ้น อัตราความร้อนถ่ายเทที่อุปกรณ์ต่างๆ จะมีค่าต่ำและอัตราส่วนการไหลจะสูง อีกทั้งໄร์ทาม ประสิทธิผลของอุปกรณ์แลกเปลี่ยนความร้อนจะไม่มีผลต่ออัตราส่วนการไหลและอัตราความร้อนถ่ายเทที่อุ่นเย็นเบอร์และคอนเดนเซอร์ ส่วนที่เย็นเนอเรเตอร์และตัวดูดกลืนจะมีผล จะเห็นว่าอัตราความร้อนถ่ายเทสูงขึ้นเมื่อประสิทธิผลของอุปกรณ์แลกเปลี่ยนความร้อนเพิ่มขึ้น

รูปที่ 8 แสดงอัตราความร้อนถ่ายเทและอัตราส่วนการไหล เทียบกับ อุณหภูมิของเยนเนอเรเตอร์และอุ่นเย็นเบอร์ ที่ประสิทธิผลของอุปกรณ์แลกเปลี่ยนความร้อนต่างๆ จากรูปจะเห็นว่า ที่อุณหภูมิของเยนเนอเรเตอร์และอุ่นเย็นเบอร์และอุ่นเย็นเบอร์ต่างๆ อัตราความร้อนถ่ายเทที่อุปกรณ์ต่างๆ จะมีค่าต่ำและอัตราส่วนการไหลจะมีค่าสูง เมื่ออุณหภูมิของเยนเนอเรเตอร์และอุ่นเย็นเบอร์เพิ่มสูงขึ้นอัตราความร้อนถ่ายเทที่อุปกรณ์ต่างๆ จะสูงขึ้นและอัตราส่วนการไหลจะลดลง

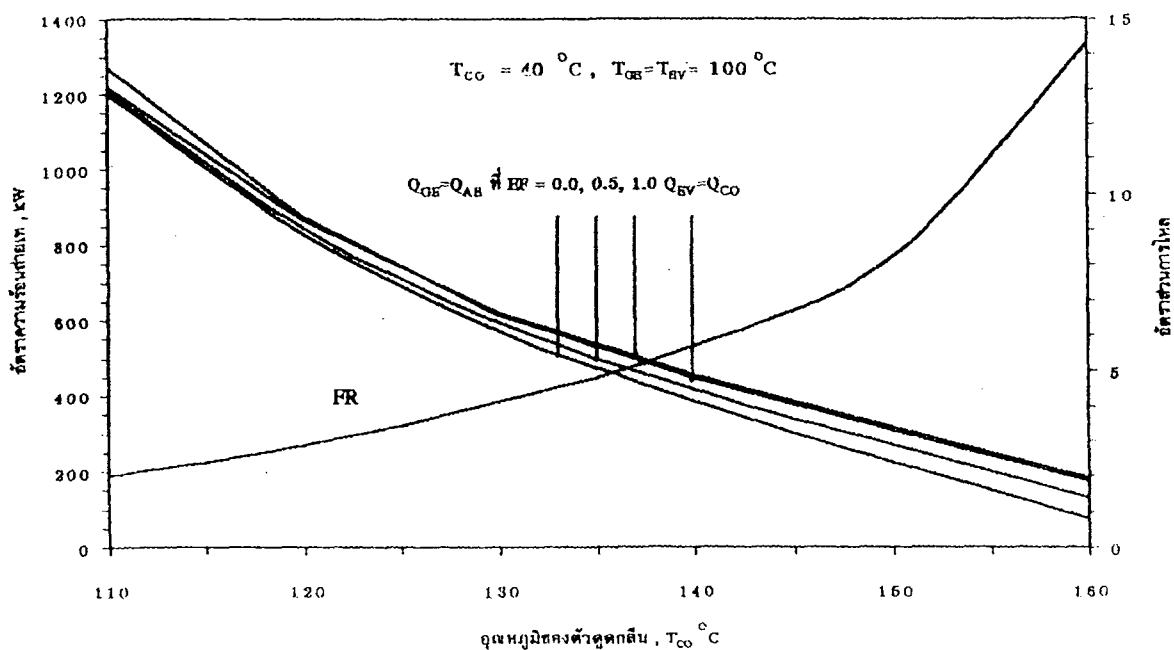
รูปที่ 9 แสดงอัตราความร้อนถ่ายเทและอัตราส่วนการไหล เทียบกับ อุณหภูมิของตัวดูดกลืน ที่ประสิทธิผลของอุปกรณ์แลกเปลี่ยนความร้อนต่างๆ จากรูปจะเห็นว่า ที่อุณหภูมิของตัวดูดกลืนต่างๆ อัตราความร้อนถ่ายเทที่อุปกรณ์ต่างๆ จะมีค่าสูงและอัตราส่วนการไหลจะมีค่าต่ำ เมื่ออุณหภูมิของตัวดูดกลืนสูงขึ้น อัตราความร้อนถ่ายเทที่อุปกรณ์ต่างๆ จะมีค่าลดลงและอัตราส่วนการไหลจะมีค่าเพิ่มสูงขึ้น



รูปที่ 7. แสดงอัตราความร้อนถ่ายเทและอัตราส่วนการไหล เทียบกับ อุณหภูมิของคอนเดนเซอร์ ที่ประสิทธิผลของอุปกรณ์แลกเปลี่ยนความร้อนเปลี่ยนแปลง



รูปที่ 8. แสดงอัตราความร้อนถ่ายเทและอัตราส่วนการให้ เทียบกับ อุณหภูมิของเย็นเบนเรเดอร์ และอีวีเปปีโกรเรเดอร์ ที่ประสิทธิผลของคุ้กกิริย์แลกเปลี่ยนความร้อนเปลี่ยนแปลง



รูปที่ 9. แสดงอัตราความร้อนถ่ายเทและอัตราส่วนการให้ เทียบกับ อุณหภูมิของตัวตู้ตอกลีน ที่ประสิทธิผลของคุ้กกิริย์แลกเปลี่ยนความร้อนเปลี่ยนแปลง

6. สรุป

ผลจากการวิจัยพบว่า ที่ระดับอุณหภูมิของคอมเพนเซอร์และตัวถุงกันลิ่นสูง ๆ สัมประสิทธิ์ของสมรรถนะและอัตราความร้อนถ่ายเทลลลง อัตราส่วนการไหลเพิ่มขึ้น และที่ระดับอุณหภูมิของเย็นเนอเรเตอร์ แล้วไปไอล์ฟอเรเตอร์สูง ๆ สัมประสิทธิ์ของสมรรถนะและอัตราความร้อนถ่ายเทเพิ่มขึ้น อัตราส่วนการไหลลดลง และเมื่อประสิทธิ์ผลของอุปกรณ์แลกเปลี่ยนความร้อนสูงขึ้นเป็นผลให้สัมประสิทธิ์ของสมรรถนะเท่ากัน เอนทาลปีและอัตราความร้อนถ่ายเทที่เย็นเนอเรเตอร์และตัวถุงกันลิ่นเพิ่มขึ้น

ดังนั้นจะเห็นว่า สมรรถนะของระบบแปลงความร้อนแบบบดูดกันจะขึ้นอยู่กับประสิทธิ์ผลของอุปกรณ์ แลกเปลี่ยนความร้อนและอุณหภูมิของอุปกรณ์ต่าง ๆ ที่ผ่านมาศึกษากรณีอุณหภูมิเย็นเนอเรเตอร์เท่ากับอุณหภูมิอีแอล์ฟอเรเตอร์ และจะทำการศึกษากรณีอุณหภูมิเย็นเนอเรเตอร์ไม่เท่ากับอุณหภูมิอีแอล์ฟอเรเตอร์ต่อไป

สัญลักษณ์

	หน่วย
COP	สัมประสิทธิ์ของสมรรถนะ
EF	ประสิทธิ์ผลของอุปกรณ์แลกเปลี่ยนความร้อน
FR	อัตราส่วนการไหล(Flow ratio) $\frac{kg_{\text{ออกอากาศเฉียบขาด}}}{kg_{\text{ออกอากาศทำงาน}}}$
h	เอนทาลปี ต่อ หน่วยมวล J / kg
M	อัตราการไหลของมวล kg / s
P	ความดัน kPa
Q	อัตราความร้อนถ่ายเท kW
T	$^{\circ}C$
x	ความเข้มข้นของสารละลาย คิดเป็นร้อยละโดยน้ำหนัก $\%$

สัญลักษณ์กำกับล่าง

A	ความร้อนที่สามารถนำมาใช้ได้จริง (Actual heat)
AB	ตัวถุงกันลิ่น
C	วัสดุกราร์โน
CO	คอมเพนเซอร์
E	ในเทอมของเอนทาลปี
EV	อีแอล์ฟอเรเตอร์
e	สภาพทางออก
GE	เย็นเนอเรเตอร์
H	ความดันสูง
i	ทางเข้า
L	ความดันต่ำ
MAX	ความร้อนสูงสุดที่สามารถนำมาใช้ได้ (Maximum heat)
ST	สารละลายเข้มข้น (สารละลายที่มีส่วนผสมของลิเทียมไบมายต์สูง)
W	สารละลายเจือจาง (สารละลายที่มีส่วนผสมของลิเทียมไบมายต์ต่ำ)
WF	ของเหลวทำงาน (Working fluid) หรือ สารที่ถูกดูดกัน (Absorbate)

ເລກສາຮ້າງອົງ

1. W.Rivera, R. Best, J. Hernandez, C.L. Heard and F.A. Holland , Thermodynamic study of advanced absorption heat transformers -1 : Single and Two stage configurations with heat exchanger. Heat Recovery Systems & CHP. Vol.14 No. 2 , pp. 173-183(1994)
2. C. Z. Zhuo and C. H. M. Machielsen, Thermodynamic assessment of an absorption heat transformers with TFR - PYR as the working pair. Heat Recovery Systems & CHP Vol.14, No. 3 , pp. 265-272(1994)
3. R. Best and W. Rivera, Thermodynamic design data for absorption heat transformers. Part six : Operating on water - carrol. Heat Recovery Systems & CHP. Vol.14 No. 4 , pp. 427-436(1994)
4. Renato M. Lazzarin, Heat pump in industry -I Equipment. Heat Recovery Systems & CHP. Vol.14 No. 6 , pp. 581-597(1994)
5. J. C. V. Chinnapa, Principles of absorption systems machines (chapter 2.), Solar air condition and Refrigeration, Pergamon Press
6. G. Grossman, Absorption heat transformers for process heat generation from solar ponds, ASHRAE Transactions. Vol. 97 , part. 1, NY-99-2-2. pp. 420-427(1991)
7. G. Grossman, Multistage absorption heat transformers for industrial applications. ASHRAE Transactions. Vol. 91 , part. B, Hi-85-41 No 1, pp. 2047-2061(1985)
8. P. Holmberg and T. Berntsson , Alternative working fluids in heat transformers, ASHRAE Transactions. Vol. 96 , part. 1, AT-90-30-2. pp. 1582-1589(1990)
9. Gordon J. Van Wylen and Richard E. Sonntay, Fundamentals of classical Thermodynamic, SI Verssion. 2 nd. Ed. John Wiley & Sons Inc New York
10. W.F. Stoecker, Design of thermal system, Third Edition, McGRAW - Hill. International Editions
11. F.P. Incropera and D. P. Dewitt, Fundamentals of heat and mass transfers, third Edition, John Wiley & Sons, 1990, New york, U.S.A.
12. Herold, K. E. , and Moran. M. J. 1987. "Thermodynamic properties of Lithium bromide/water solutions." ASHRAE Transactions, Vol. 93, Part 1, pp. 35-50
13. M.R. Patterson, Ph.D. and H. Perez-Blanco, Ph.D. 1988. Numerical first of the properties of LiBr - H₂O Solution, ASHRAE Transaction , Vol. 94, Part 2, pp2059 - 2077
14. ພ. ດ. ດັນກຳມ ສຸນທຽບນາຄແສງ ແລະມພາກ ຫຼື້ອນາກ , ຄູນສມບັດທາງເກຣໄນໄດນາມີກສ່ອງອຸປະກອດ ແລະລວມຄວາມຮັບຮົມກັນອຸປະກອດຢັ້ງແລກແກ່ເຄີຍຄວາມຮັບຮົມ , ສົງເສວິມເກຄໃນໄລຍ້ , ປຶກ 22 ລັບກໍ່ 126 , ທັນ 147-151(2539)

กรณีที่จะศึกษาต่อไป

กรณีอุณหภูมิเย็นเนื่องเรตอร์เท่ากับอุณหภูมิอิباءป้องเรตอร์

- COP ,FR เทียบกับ T_{AB} ที่อุณหภูมิ $T_{CO} = T_{EV}$ ต่างๆ โดยกำหนด $T_{GB} = T_{BV} = C$ และ $EF = 0.0$
- COP ,FR เทียบกับ T_{AB} ที่อุณหภูมิ $T_{GB} = T_{BV}$ ต่างๆ โดยกำหนด $T_{CO} = C$ และ $EF = 0.0$
- COP ,FR เทียบกับ $T_{GB} = T_{BV}$ ที่อุณหภูมิ T_{AB} ต่างๆ โดยกำหนด $T_{CO} = C$ และ $EF = 0.0$

กรณีอุณหภูมิเย็นเนื่องเรตอร์ไม่เท่ากับอุณหภูมิอิباءป้องเรตอร์

- COP เทียบกับ T_{CO} ที่ค่า EF ต่างๆ โดยกำหนด $T_{GB} = C$, $T_{BV} = C$ และ $T_{AB} = C$
- COP เทียบกับ T_{GB} ที่ค่า EF ต่างๆ โดยกำหนด $T_{CO} = C$, $T_{BV} = C$ และ $T_{AB} = C$
- COP เทียบกับ T_{BV} ที่ค่า EF ต่างๆ โดยกำหนด $T_{CO} = C$, $T_{GB} = C$ และ $T_{AB} = C$
- COP เทียบกับ T_{AB} ที่ค่า EF ต่างๆ โดยกำหนด $T_{CO} = C$, $T_{GB} = C$ และ $T_{BV} = C$
- COP เทียบกับ EF ที่ค่า T_{AB} ต่างๆ โดยกำหนด $T_{CO} = C$, $T_{GB} = C$ และ $T_{BV} = C$
- Q , FR เทียบกับ T_{CO} ที่ค่า EF ต่างๆ โดยกำหนด $T_{GB} = C$, $T_{BV} = C$ และ $T_{AB} = C$
- Q , FR เทียบกับ T_{GB} ที่ค่า EF ต่างๆ โดยกำหนด $T_{CO} = C$, $T_{BV} = C$ และ $T_{AB} = C$
- Q , FR เทียบกับ T_{BV} ที่ค่า EF ต่างๆ โดยกำหนด $T_{CO} = C$, $T_{GB} = C$ และ $T_{AB} = C$
- Q , FR เทียบกับ T_{AB} ที่ค่า EF ต่างๆ โดยกำหนด $T_{CO} = C$, $T_{GB} = C$ และ $T_{BV} = C$
- COP ,FR เทียบกับ T_{AB} ที่อุณหภูมิ $T_{CO} = T_{GB} = T_{BV} = C$ และ $EF = 0.0$
- COP ,FR เทียบกับ T_{AB} ที่อุณหภูมิ T_{GR} ต่างๆ โดยกำหนด $T_{CO} = C$, $T_{BV} = C$ และ $EF = 0.0$
- COP ,FR เทียบกับ T_{AB} ที่อุณหภูมิ T_{EV} ต่างๆ โดยกำหนด $T_{CO} = C$, $T_{GB} = C$ และ $EF = 0.0$
- COP ,FR เทียบกับ T_{GB} ที่อุณหภูมิ T_{AB} ต่างๆ โดยกำหนด $T_{CO} = C$, $T_{BV} = C$ และ $EF = 0.0$
- COP ,FR เทียบกับ T_{BV} ที่อุณหภูมิ T_{AB} ต่างๆ โดยกำหนด $T_{CO} = C$, $T_{GB} = C$ และ $EF = 0.0$

หมายเหตุ $C =$ ค่าคงที่ ซึ่งยังไม่สามารถกำหนดค่าได้ในขณะนี้ เนื่องจากวิเคราะห์ข้อมูลยังไม่หมด

สรุปผลกรณีคิดเป็นเปอร์เซ็นต์ของการลดลง (เทียบกับ COP_B ที่ $EF = 1.0$)

1. สัมประสิทธิ์ของสมรรถนะ(COP) เทียบกับ อุณหภูมิของคงค้อนเดนเซอร์(T_{CO}) ที่ประสิทธิ์ผลของอุปกรณ์แลกเปลี่ยนความร้อน(EF)ต่างๆ โดยที่กำหนดให้ อุณหภูมิของเย็นเนอเรเตอร์และอีว่าป่าเบอร์เตอร์ ($T_{CB}=T_{EV}$) = 70 องศาเซลเซียส และ อุณหภูมิของตัวดูดกลืน(T_{AB}) = 100 องศาเซลเซียส

- ช่วงอุณหภูมิ T_{CO} ต่ำๆ ($20\text{--}30^{\circ}\text{C}$) เปอร์เซ็นต์การลดลงของ COP_B เมื่อ EF ลดลงนั้นอยมาก

- ที่อุณหภูมิ $T_{CO} = 35^{\circ}\text{C}$ เปอร์เซ็นต์การลดลงของ COP_B เมื่อ EF ลดลงนั้นจะเริ่มเพิ่มสูงขึ้น

ที่ $EF = 0.75$ เปอร์เซ็นต์การลดลงของ $COP_B = 3.7623\%$

ที่ $EF = 0.5$ เปอร์เซ็นต์การลดลงของ $COP_B = 7.723\%$

ที่ $EF = 0.25$ เปอร์เซ็นต์การลดลงของ $COP_B = 11.881\%$

ที่ $EF = 0.0$ เปอร์เซ็นต์การลดลงของ $COP_B = 16.435\%$

- ที่อุณหภูมิ $T_{CO} = 40^{\circ}\text{C}$ เปอร์เซ็นต์การลดลงของ COP_B เมื่อ EF ลดลงนั้นจะเพิ่มขึ้นอย่างรวดเร็ว

ที่ $EF = 0.75$ เปอร์เซ็นต์การลดลงของ $COP_B = 9.703\%$

ที่ $EF = 0.5$ เปอร์เซ็นต์การลดลงของ $COP_B = 21.584\%$

ที่ $EF = 0.25$ เปอร์เซ็นต์การลดลงของ $COP_B = 36.237\%$

ที่ $EF = 0.0$ เปอร์เซ็นต์การลดลงของ $COP_B = 55.247\%$

สรุป จะเห็นว่า EF จะมีผลต่อ COP_B มาก เมื่อ T_{CO} สูงกว่า 35°C

2. สัมประสิทธิ์ของสมรรถนะ(COP) เทียบกับ อุณหภูมิของเย็นเนอเรเตอร์และอีว่าป่าเบอร์เตอร์ ($T_{CB}=T_{EV}$) ที่ประสิทธิ์ผลของอุปกรณ์แลกเปลี่ยนความร้อน(EF)ต่างๆ โดยที่กำหนดให้ อุณหภูมิของคงค้อนเดนเซอร์(T_{CO}) = 40 องศาเซลเซียส และ อุณหภูมิของตัวดูดกลืน(T_{AB}) = 120 องศาเซลเซียส

- ที่อุณหภูมิ $T_{CB}=T_{EV} = 80^{\circ}\text{C}$ เปอร์เซ็นต์การลดลงของ COP_B เมื่อ EF ลดลงนั้นจะเพิ่มขึ้นอย่างรวดเร็ว

ที่ $EF = 0.75$ เปอร์เซ็นต์การลดลงของ $COP_B = 8.317\%$

ที่ $EF = 0.5$ เปอร์เซ็นต์การลดลงของ $COP_B = 18.812\%$

ที่ $EF = 0.25$ เปอร์เซ็นต์การลดลงของ $COP_B = 31.485\%$

ที่ $EF = 0.0$ เปอร์เซ็นต์การลดลงของ $COP_B = 47.525\%$

- ที่อุณหภูมิ $T_{CB}=T_{EV} = 90^{\circ}\text{C}$ เปอร์เซ็นต์การลดลงของ COP_B เมื่อ EF ลดลงจะลดลงน้อย

ที่ $EF = 0.75$ เปอร์เซ็นต์การลดลงของ $COP_B = 1.782\%$

ที่ $EF = 0.5$ เปอร์เซ็นต์การลดลงของ $COP_B = 3.168\%$

ที่ $EF = 0.25$ เปอร์เซ็นต์การลดลงของ $COP_B = 4.752\%$

ที่ $EF = 0.0$ เปอร์เซ็นต์การลดลงของ $COP_B = 6.336\%$

- ช่วงอุณหภูมิ $T_{CB}=T_{EV}$ มากกว่า 90°C เปอร์เซ็นต์การลดลงของ COP_B เมื่อ EF ลดลงจะลดลงน้อยมาก

สรุป จะเห็นว่า EF จะมีผลต่อ COP_B มาก เมื่อ $T_{CB}=T_{EV}$ ต่ำกว่า 90°C

3. สัมประสิทธิ์ของสมรรถนะ(COP) เทียบกับ อุณหภูมิของตัวถุดกลีน(T_{AB}) ที่ประสิทธิผลข้อปักษ์แยกเปลี่ยนความร้อน(EF)ต่างๆ โดยที่กำหนดให้ อุณหภูมิของค่อนเดนเซอร์(T_{CO})= 40 องศาเซลเซียส และ อุณหภูมิของเย็นเบอเรเตอร์และอีแวนป์โอลเรเตอร์($T_{GB}=T_{BV}$) = 90 องศาเซลเซียส

- ช่วงอุณหภูมิ T_{AB} น้อยกว่า 130°C เปอร์เซ็นต์การลดลงของ COP_B เมื่อ EF ลดลงนั้นน้อยมาก
- ที่อุณหภูมิ $T_{AB} = 130^{\circ}\text{C}$ เปอร์เซ็นต์การลดลงของ COP_B เมื่อ EF ลดลง

ที่ EF = 0.75 เปอร์เซ็นต์การลดลงของ $\text{COP}_B = 2.579 \%$

ที่ EF = 0.5 เปอร์เซ็นต์การลดลงของ $\text{COP}_B = 5.754 \%$

ที่ EF = 0.25 เปอร์เซ็นต์การลดลงของ $\text{COP}_B = 9.325 \%$

ที่ EF = 0.0 เปอร์เซ็นต์การลดลงของ $\text{COP}_B = 13.095 \%$

- ที่อุณหภูมิ $T_{AB} = 140^{\circ}\text{C}$ เปอร์เซ็นต์การลดลงของ COP_B เมื่อ EF ลดลง

ที่ EF = 0.75 เปอร์เซ็นต์การลดลงของ $\text{COP}_B = 6.944 \%$

ที่ EF = 0.5 เปอร์เซ็นต์การลดลงของ $\text{COP}_B = 16.269 \%$

ที่ EF = 0.25 เปอร์เซ็นต์การลดลงของ $\text{COP}_B = 27.381 \%$

ที่ EF = 0.0 เปอร์เซ็นต์การลดลงของ $\text{COP}_B = 40.873 \%$

สรุป จะเห็นว่า EF จะมีผลต่อ COP_B มาก เมื่อ T_{AB} สูงกว่า 140°C

4. สัมประสิทธิ์ของสมรรถนะ(COP) เทียบกับ ประสิทธิผลของคุณภาพแยกเปลี่ยนความร้อน(EF) ที่อุณหภูมิของตัวถุดกลีน(T_{AB}) ต่างๆ โดยที่กำหนดให้ อุณหภูมิของค่อนเดนเซอร์(T_{CO})= 40 องศาเซลเซียส และ อุณหภูมิของเย็นเบอเรเตอร์และอีแวนป์โอลเรเตอร์($T_{GB}=T_{BV}$) = 100 องศาเซลเซียส

- ช่วงอุณหภูมิ T_{AB} น้อยกว่า 130°C เปอร์เซ็นต์การลดลงของ COP_B เมื่อ EF ลดลงนั้นน้อยมาก

- ที่ EF = 0.0 เปอร์เซ็นต์การลดลงของ COP_B เมื่อ T_{AB} เพิ่มขึ้น

ที่ $T_{AB} = 130^{\circ}\text{C}$ เปอร์เซ็นต์การลดลงของ $\text{COP}_B = 4.95 \%$

ที่ $T_{AB} = 140^{\circ}\text{C}$ เปอร์เซ็นต์การลดลงของ $\text{COP}_B = 8.317 \%$

ที่ $T_{AB} = 150^{\circ}\text{C}$ เปอร์เซ็นต์การลดลงของ $\text{COP}_B = 15.643 \%$

ที่ $T_{AB} = 160^{\circ}\text{C}$ เปอร์เซ็นต์การลดลงของ $\text{COP}_B = 39.802 \%$

- ที่ EF = 0.25 เปอร์เซ็นต์การลดลงของ COP_B เมื่อ T_{AB} เพิ่มขึ้น

ที่ $T_{AB} = 130^{\circ}\text{C}$ เปอร์เซ็นต์การลดลงของ $\text{COP}_B = 3.762 \%$

ที่ $T_{AB} = 140^{\circ}\text{C}$ เปอร์เซ็นต์การลดลงของ $\text{COP}_B = 6.138 \%$

ที่ $T_{AB} = 150^{\circ}\text{C}$ เปอร์เซ็นต์การลดลงของ $\text{COP}_B = 11.080 \%$

ที่ $T_{AB} = 160^{\circ}\text{C}$ เปอร์เซ็นต์การลดลงของ $\text{COP}_B = 26.732 \%$

- ที่ EF = 0.5 เปอร์เซ็นต์การลดลงของ COP_B เมื่อ T_{AB} เพิ่มขึ้น

ที่ $T_{AB} = 130^{\circ}\text{C}$ เปอร์เซ็นต์การลดลงของ $\text{COP}_B = 2.882 \%$

ที่ $T_{AB} = 140^{\circ}\text{C}$ เปอร์เซ็นต์การลดลงของ $\text{COP}_B = 3.96 \%$

ที่ $T_{AB} = 150^{\circ}\text{C}$ เปอร์เซ็นต์การลดลงของ $\text{COP}_B = 3.93 \%$

ที่ $T_{AB} = 160^{\circ}\text{C}$ เปอร์เซ็นต์การลดลงของ $\text{COP}_B = 16.039 \%$

ที่ $EF = 0.75$ เปอร์เซ็นต์การลดลงของ COP_B เมื่อ T_{AB} เพิ่มขึ้น

ที่ $T_{AB} = 130^{\circ}\text{C}$ เปอร์เซ็นต์การลดลงของ $COP_B = 1.584\%$

ที่ $T_{AB} = 140^{\circ}\text{C}$ เปอร์เซ็นต์การลดลงของ $COP_B = 1.98\%$

ที่ $T_{AB} = 150^{\circ}\text{C}$ เปอร์เซ็นต์การลดลงของ $COP_B = 3.168\%$

ที่ $T_{AB} = 160^{\circ}\text{C}$ เปอร์เซ็นต์การลดลงของ $COP_B = 6.93\%$

COP เทียบกับ T_{CO} ที่ EF ต่างๆ $T_{GB}=T_{BV}=70^{\circ}C$, $T_{AB}=100^{\circ}C$

T_{CO}	COP _B ที่ EF ต่างๆ					COP _C
	0	0.25	0.5	0.75	1	
20	0.477	0.484	0.491	0.498	0.505	0.893
25	0.469	0.479	0.488	0.496	0.505	0.857
30	0.455	0.469	0.481	0.493	0.505	0.816
35	0.422	0.445	0.466	0.486	0.505	0.769
40	0.226	0.322	0.396	0.456	0.505	0.714

COP เทียบกับ $T_{GB}=T_{BV}$, ที่ EF ต่างๆ $T_{CO}=40^{\circ}C$, $T_{AB}=120^{\circ}C$

$T_{GB}=T_{BV}$	COP _B ที่ EF ต่างๆ					COP _C
	0	0.25	0.5	0.75	1	
80	0.265	0.346	0.41	0.463	0.505	0.75
90	0.473	0.481	0.489	0.496	0.505	0.833
100	0.487	0.489	0.492	0.496	0.505	0.9

COP เทียบกับ T_{AB} ที่ EF ต่างๆ $T_{CO}=40^{\circ}C$, $T_{GB}=T_{BV}=90^{\circ}C$

T_{AB}	COP _B ที่ EF ต่างๆ					COP _C
	0	0.25	0.5	0.75	1	
110	0.486	0.489	0.492	0.496	0.504	0.873
120	0.473	0.481	0.489	0.496	0.504	0.833
130	0.438	0.457	0.475	0.491	0.504	0.802
140	0.298	0.366	0.422	0.469	0.503	0.778

COP เทียบกับ EF ที่ T_{AB} ต่างๆ $T_{CO}=40^{\circ}C$, $T_{GB}=T_{BV}=100^{\circ}C$

EF	COP _B ที่ T_{AB} ต่างๆ			
	130	140	150	160
0	0.48	0.463	0.426	0.304
0.25	0.486	0.474	0.449	0.37
0.5	0.491	0.485	0.47	0.424
0.75	0.497	0.495	0.489	0.47
1	0.505	0.505	0.505	0.505

Q, FR เทียบกับ T_{CO} ที่ EF ต่างๆ $T_{GB}=T_{EV}=70^{\circ}C$, $T_{AB}=100^{\circ}C$

T_{CO}	FR	$Q_{AB}=Q_{GB}$ ที่ EF ต่างๆ			$Q_{EV}=Q_{CO}$
		0	0.5	1	
20	5	459.14	486.17	513.2	503.6
25	6	370.59	398.85	427.11	418.93
30	7.8	268.8	298.23	327.67	321.47
35	11.7	154.56	185.12	215.69	211.71
40	28.2	25.54	57.24	88.93	87.34

Q, FR เทียบกับ $T_{GB}=T_{EV}$, ที่ EF ต่างๆ $T_{CO}=40^{\circ}C$, $T_{AB}=120^{\circ}C$

$T_{GB}=T_{EV}$	FR	$Q_{AB}=Q_{GB}$ ที่ EF ต่างๆ			$Q_{EV}=Q_{CO}$
		0	0.5	1	
80	20.8	42.93	82.65	122.36	118.86
90	5.2	433.88	461.81	489.74	482.71
100	2.9	828.56	846.01	863.45	874.53

Q, FR เทียบกับ T_{AB} ที่ EF ต่างๆ $T_{CO}=40^{\circ}C$, $T_{GB}=T_{EV}=100^{\circ}C$

T_{AB}	FR	$Q_{AB}=Q_{GB}$ ที่ EF ต่างๆ			$Q_{EV}=Q_{CO}$
		0	0.5	1	
110	2	1200.55	1209.25	1217.96	1271.41
120	2.9	828.56	846.01	863.45	874.53
130	4.1	569.72	595.94	622.17	617.01
140	5.7	382.62	417.66	452.7	443.3
150	8.2	225.97	269.86	313.75	304.57
160	14.3	76.42	129.2	181.98	175.32

COP เทียบกับ T_{CO} ที่ EF ต่างๆ $T_{GB}=T_{BV}=70^{\circ}C$, $T_{AB}=100^{\circ}C$ (คิดเป็นเปอร์เซ็นต์ของผลลัพธ์)

T_{CO}	COP _B ที่ EF ต่างๆ (เปอร์เซ็นต์ : %)					COP _C
	0	0.25	0.5	0.75	1	
20	5.554	4.158	2.772	1.386	0	0.893
25	7.1287	5.1485	3.366	1.782	0	0.857
30	9.901	7.1287	4.752	2.376	0	0.816
35	16.435	11.881	7.723	3.7623	0	0.769
40	55.247	36.237	21.584	9.703	0	0.714

COP เทียบกับ $T_{GB}=T_{BV}$, ที่ EF ต่างๆ $T_{CO}=40^{\circ}C$, $T_{AB}=120^{\circ}C$ (คิดเป็นเปอร์เซ็นต์ของผลลัพธ์)

$T_{GB}=T_{BV}$	COP _B ที่ EF ต่างๆ (เปอร์เซ็นต์ : %)					COP _C
	0	0.25	0.5	0.75	1	
80	47.525	31.485	18.812	8.317	0	0.75
90	6.336	4.752	3.168	1.782	0	0.833
100	3.564	3.1683	2.574	1.782	0	0.9

COP เทียบกับ T_{AB} ที่ EF ต่างๆ $T_{CO}=40^{\circ}C$, $T_{GB}=T_{BV}=90^{\circ}C$ (คิดเป็นเปอร์เซ็นต์ของผลลัพธ์)

T_{AB}	COP _B ที่ EF ต่างๆ (เปอร์เซ็นต์ : %)					COP _C
	0	0.25	0.5	0.75	1	
110	3.571	2.976	2.38	1.587	0	0.873
120	6.1507	4.563	2.976	1.587	0	0.833
130	13.095	9.325	5.754	2.579	0	0.802
140	40.873	27.381	16.269	6.944	0	0.778

COP เทียบกับ EF ที่ T_{AB} ต่างๆ $T_{CO}=40^{\circ}C$, $T_{GB}=T_{BV}=100^{\circ}C$ (คิดเป็นเปอร์เซ็นต์ของผลลัพธ์)

EF	COP _B ที่ T_{AB} ต่างๆ (เปอร์เซ็นต์ : %)			
	130	140	150	160
0	4.9504	8.317	15.643	39.602
0.25	3.762	6.138	11.089	26.732
0.5	2.772	3.96	6.93	16.039
0.75	1.584	1.98	3.168	6.93
1	0	0	0	0

Q , FR เทียบกับ T_{CO} ที่ EF ต่างๆ $T_{GB}=T_{BV}=70^{\circ}C$, $T_{AB}=100^{\circ}C$ (คิดเป็นเปอร์เซ็นต์ของการลดลง)

T_{CO}	FR	$Q_{AB}=Q_{GB}$ ที่ EF ต่างๆ (เปอร์เซ็นต์ : %)	$Q_{BV}=Q_{CO}$		
			0	0.5	1
20	5	10.534	5.267	0	503.6
25	6	13.233	6.616	0	418.93
30	7.8	17.966	8.985	0	321.47
35	11.7	28.341	14.173	0	211.71
40	28.2	71.28	35.63	0	87.34

Q , FR เทียบกับ $T_{GB}=T_{BV}$, ที่ EF ต่างๆ $T_{CO}=40^{\circ}C$, $T_{AB}=120^{\circ}C$ (คิดเป็นเปอร์เซ็นต์ของการลดลง)

$T_{GB}=T_{BV}$	FR	$Q_{AB}=Q_{GB}$ ที่ EF ต่างๆ (เปอร์เซ็นต์ : %)	$Q_{BV}=Q_{CO}$		
			0	0.5	1
80	20.8	64.915	32.4534	0	118.86
90	5.2	11.406	5.703	0	482.71
100	2.9	4.0407	2.0198	0	874.53

Q , FR เทียบกับ T_{AB} ที่ EF ต่างๆ $T_{CO}=40^{\circ}C$, $T_{GB}=T_{BV}=100^{\circ}C$ (คิดเป็นเปอร์เซ็นต์ของการลดลง)

T_{AB}	FR	$Q_{AB}=Q_{GB}$ ที่ EF ต่างๆ (เปอร์เซ็นต์ : %)	$Q_{BV}=Q_{CO}$		
			0	0.5	1
110	2	1.4294	0.7151	0	1271.41
120	2.9	4.0404	2.018	0	874.53
130	4.1	8.43	4.216	0	617.01
140	5.7	15.4804	7.742	0	443.3
150	8.2	27.9776	13.988	0	304.57
160	14.3	58.006	29.003	0	175.32